

**К ИССЛЕДОВАНИЯМ НЕПРЕРЫВНОЙ ДЕТОНАЦИИ
В КОЛЬЦЕВОМ КАНАЛЕ**

B. B. Михайлов, M. E. Топчян
(*Новосибирск*)

В работах [1—4] описан процесс непрерывного сжигания смеси $2\text{C}_2\text{H}_2 + 5\text{O}_2$ в кольцевом канале со скоростями, на два порядка превышающими скорость нормального горения для этой смеси. Проведенные ранее Б. В. Войцеховским исследования показали, что скорость вращения яркосветящихся областей — «голов», возникающих при этом процессе в камере, равна ~ 800 м/сек. Эта величина в три раза меньше скорости Чепмена — Жуге для данной смеси и примерно в 50 раз превышает скорость нормального горения.

Для выяснения природы этого явления были проведены исследования, результаты которых излагаются в данной статье.

Исследования проводились на двух камерах с внутренними диаметрами кольцевого канала 250 и 170 мм. Остальные размеры были сохранены как в работах [1, 2].

Измерения скорости проводились методом развертки вращающихся «голов» с помощью фоторегистра. Полученные на развертках циклоиды приведены на рис. 1. На первой камере получена регистрограмма *a*, где видно 5 вращающихся «голов», на второй — *b*, *c*, соответственно 4 и 3 «головы».

Сравнение регистрограмм показывает резкое усиление интенсивности процесса при уменьшении числа «голов» (табл.).

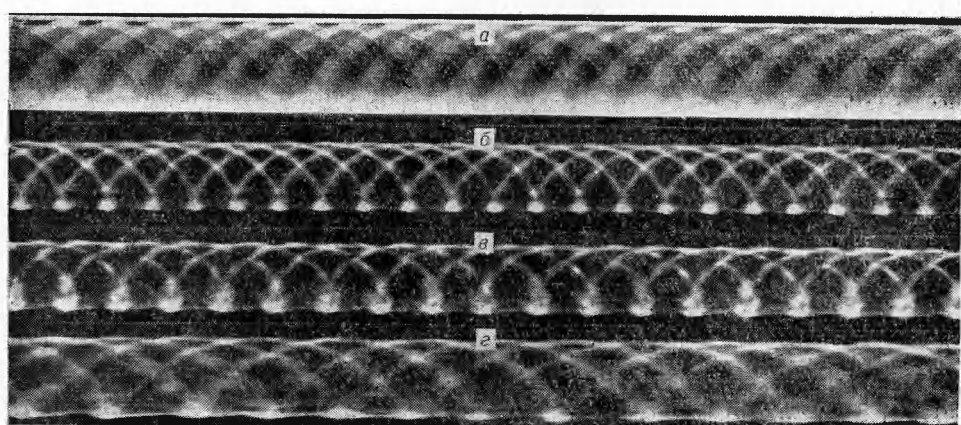


Рис. 1.

Приведенные в таблице результаты измерения скорости показывают относительно высокую стабильность процесса и явную тенденцию к увеличению скорости с уменьшением числа «голов». При данном размещении камеры число «голов» устойчивого процесса сохраняется более или менее постоянным. Так, на первой камере оно всегда равнялось 5 или 6, а на второй — 3 или 4.

Проведенные измерения скорости дают возможность применить метод полной компенсации [5] для исследования структуры светящейся зоны.

Для этого скорость вращения барабана фоторегистра выбиралась так, чтобы в одной из крайних точек циклоиды скорость изображения была равна скорости барабана (рис. 1, г). Для получения четких снимков фотографирование производилось через щель шириной около 10 мм. При таких размерах щели размытие изображения составляло величину менее 0,1 мм.

Камера, мм	Число «голов»	Скорость, м/сек
250	6	$749 \pm 3,5\%$
	5	$759 \pm 3,5\%$
170	4	$875 \pm 2\%$
	3	$918 \pm 2\%$

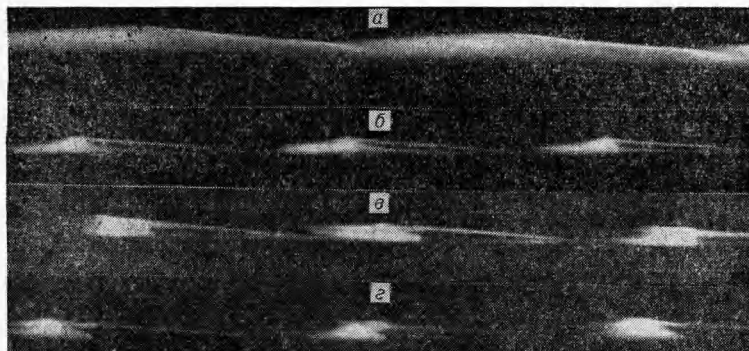


Рис. 2.

Полученные этим методом снимки процесса приведены на рис. 2, где *a* — снимки процессов с 5-ю «головами», *b*, *c* — различные модификации процесса с тремя «головами». Можно видеть заметное повышение контраста при уменьшении числа «голов». На рис. 3 приведены схемы структуры самосвещения. Рис. 3, *a* соответствует фото на рис. 2, *b*, рис. 3, *b* — рис. 2, *c*, *g*.

Общим в этих структурах является треугольная область свечения, ограниченная впереди (движение слева направо) линией, наклоненной под углом около 7° к направлению движения. Заметна и существенная разница. Так, на рис. 2, *a* видна более или менее сплошная засветка всей треугольной области и довольно ровный, почти прямой, задний край области свечения. Рис. 2, *b*, *c* дает иную картину: передняя линия становится тонкой, за ней темная область, вблизи верхней вершины треугольника наблюдается резкое увеличение яркости передней линии. Под этой точкой вновь начинает светиться газ и на основании треугольника, захватывая постепенно всю область до вершины. Задний край не имеет правильной формы и меняет свой вид от «головы» к «голове». В точке, где наблюдается усиление свечения, передняя линия испытывает небольшой излом. Все это указывает на возможность существования фронта *AE* (см. рис. 3, *b*).

Съемка самосвечения показала, что основание светящегося треугольника не лежит на внутренней кромке детонационного канала, а находится от нее на расстоянии, по крайней мере, 3 мм. Вершина С лежит вблизи начала сужения канала (рис. 4), где расположена область свечения процесса при наблюдении в направлении распространения.

Фотографии самосвечения не дают возможности обнаружить сл-

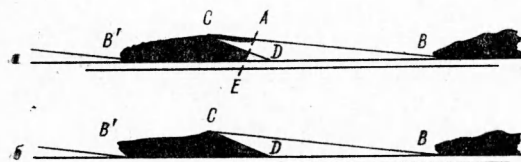


Рис. 3.

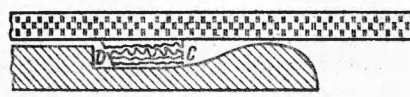


Рис. 4.

бо светящиеся скачки, поэтому были проведены исследования процесса методом полной компенсации на теплеровской установке. Для этого канал был выполнен в виде кольцевой камеры, заключенной между двумя оптическими стеклами (рис. 5). Полученные в этих опытах теплерограммы процесса приведены на рис. 6. Можно видеть, что они в общих чертах повторяют снимки самосвечения. Отметим, что в данном случае вследствие низкой плотности газа, небольшой толщины исследуемого слоя и относительно низкой чувствительности теплеровской установки опыты проводились на пределе разрешающей способности аппаратуры.

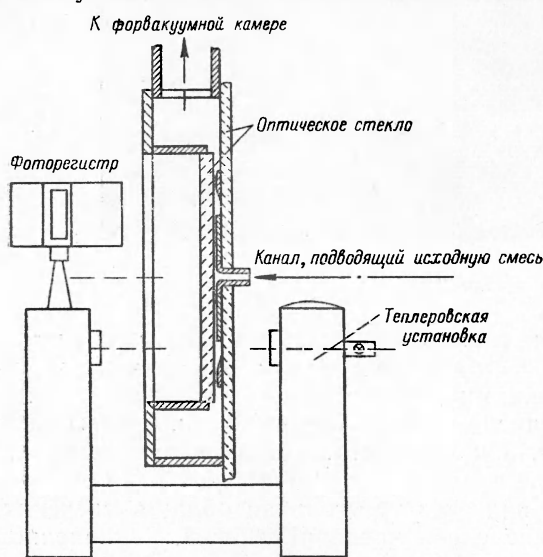


Рис. 5.

Полученные осциллограммы давления имеют качественно различный вид в зависимости от места установки датчика в канале (развертка справа налево). Вблизи внутренней кромки канала изменения давления происходят непрерывно (рис. 7, а), у внешней кромки обнаружаются скачки (рис. 7, б). Переход от одного вида осциллограмм к другому непрерывный. На последней осциллограмме интересным является наличие

вый стерженек длиной около 5 мм. В остальном конструкция датчика аналогична приведенной в работе [6]. Тарировка проводилась обычным динамическим методом на ударной трубе.

Полученные осциллограммы давления имеют качественно различный вид в зависимости от места установки датчика в канале (развертка справа налево). Вблизи внутренней кромки канала изменения давления происходят непрерывно (рис. 7, а), у внешней кромки обнаружаются скачки (рис. 7, б). Переход от одного вида осциллограмм к другому непрерывный. На последней осциллограмме интересным является наличие

двойного сжатия, очень напоминающего картину, возникающую при спиновой детонации [6, 7].

Измерения давления показали, что абсолютная величина перепада давления на скачке достигает величины 43 мм рт. ст.



Рис. 6.

К сожалению, для величины давления перед фронтом по ряду причин удается получить лишь грубую оценку измерением с помощью сильфонного устройства, которое дало величину $10 \div 15$ мм рт. ст. Таким образом, относительное изменение давления в скачке дает величину около $3 \div 4$. Скорость нормальной к потоку ударной волны при этом будет равна 550—650 м/сек. Элементарный расчет показывает, что при наблюдающейся в эксперименте скорости около 900 м/сек угол фронта с потоком должен составлять величину порядка $30 \div 35^\circ$, чтобы обеспечить заданный перепад давления. Наблюдаемый в эксперименте угол наклона линии СД (см. рис. 3) имеет величину, лежащую в области $20 \div 30^\circ$, хотя, конечно, возможно, что наблюдаемые скачки давления связаны не с этой линией.

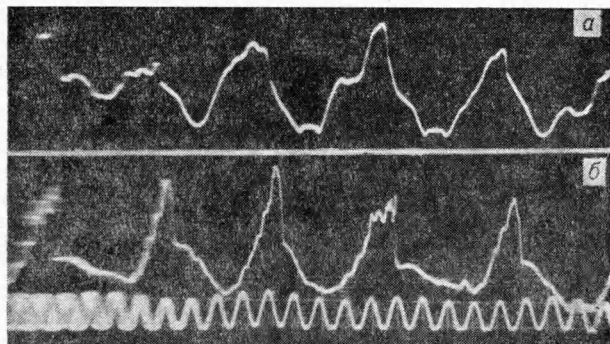


Рис. 7.

Поступила в редакцию
18/VI 1965

ЛИТЕРАТУРА

1. Б. В. Войцеховский. Докл. АН СССР, 1959, 129, 6.
2. Б. В. Войцеховский. ПМТФ, 1960, 3.
3. Б. В. Войцеховский. Ученый совет по народнохозяйственному использованию взрыва. Изд-во СО АН СССР, 1960, вып. 13.
4. Б. В. Войцеховский, В. В. Митрофанов, М. Е. Топчян. Структура фронта детонации в газах. Изд-во СО АН СССР, 1963.
5. Б. В. Войцеховский. Докл. АН СССР, 1957, 114, 4.
6. М. Е. Топчян. ПМТФ, 1962, 4.
7. В. В. Митрофанов, В. А. Субботин, М. Е. Топчян. ПМТФ, 1963, 3.